

УДК 550.388

ЛОКАЛЬНАЯ АДАПТАЦИЯ МОДЕЛИ ИОНОСФЕРЫ IRI ПО ДАННЫМ ВОЗВРАТНО-НАКЛОННОГО ЗОНДИРОВАНИЯ

© 2013 г. К. А. Тетерин

Институт прикладной геофизики им. акад. Е.К. Федорова Росгидромета, г. Москва

e-mail: electron_77@mail.ru

Поступила в редакцию 13.12.2011 г.

После доработки 27.06.2012 г.

Ввиду распространенности использования эмпирических моделей при осуществлении КВ радиосвязи на дальние расстояния и в задачах обнаружения целей возникла необходимость адаптации этих моделей к реальному состоянию ионосферы, чтобы можно было пользоваться этими моделями в оперативной работе. Предложена адаптация модели IRI путем оптимизации значений глобально-го ионосферного индекса и числа солнечных пятен, используемых в модели при расчете высотного распределения концентрации электронов в ионосфере, с привлечением данных возвратно-наклонного зондирования. Рассмотрен вопрос о корректности задачи адаптации при некоторых ограничениях. Получена оценка погрешности адаптации.

DOI: 10.7868/S0016794013030188

1. ВВЕДЕНИЕ

В коротковолновой (КВ) радиосвязи и радиолокации широкое применение нашли эмпирические модели ионосферы, которые вместе с моделированием распространения декаметровых радиоволн в ионосфере позволяют рассчитать необходимые характеристики сигналов (дальность скачка по земле, углы прихода, групповой путь). Наиболее широко используется модель ионосферы IRI [Bilitza and Reinisch, 2008]. Среди исходных данных для расчета высотных профилей электронной концентрации в модели IRI используются глобальный ионосферный индекс (*IG12*) и число солнечных пятен (*RZ12*). По данным International Telecommunication Union Radiocommunication Sector (отчет H.3.2.1.) точность определения плотности электронной концентрации по модели IRI 2007 на высотах от 200 до 1000 км составляет 15–25% для низких и средних широт (<60°С). Такая точность может оказаться недостаточной для оперативной работы, и требуется адаптация модели к текущему состоянию ионосферы. Известен метод адаптации по оперативным данным вертикального зондирования ионосферы (ВЗ) [Крашенинников и др., 2008]. В данной работе рассматривается метод адаптации по данным возвратно-наклонного зондирования ионосферы (ВНЗ) [Михеев и др., 1988]. На основе данных ВНЗ можно получить экспериментальные дистанционно-частотные характеристики (ДЧХ) [Чернов, 1971] в широком азимутальном секторе, что характеризует состояние ионосферы в обширном регионе, и с помощью этих данных можно провести адаптацию модели IRI к текущему состоянию ионосфе-

ры в этом регионе путем решения обратной задачи ВНЗ [Ахмедшин и др., 1991]. Однако решение обратной задачи ВНЗ, т.е. восстановление пространственного профиля электронной концентрации в ионосфере на основе данных ВНЗ, – некорректная задача, дающая множество решений, поэтому требуется применять методы регуляризации. В работе [Ахмедшин и др., 1991] использовалась аппроксимация истинного распределения электронной концентрации в ионосфере аналитической экспоненциально-параболической моделью, параметры которой подлежали определению. Использование данной модельной зависимости лишь частично регуляризовало обратную задачу, поэтому в данной работе предлагается регуляризация, состоящая в ограничении класса решений обратной задачи ВНЗ профилями распределения концентрации электронов, формируемыми моделью IRI. С помощью модели распространения декаметровых радиоволн в ионосфере и модели IRI при заданных значениях параметров *IG12* и *RZ12* рассчитывается модельная ДЧХ. Эти параметры оптимизируются так, чтобы модельная ДЧХ была как можно ближе к экспериментальной в смысле предлагаемого критерия адаптации. При оптимизации исходными являются прогнозные значения. Цель работы состоит в исследовании вопроса о корректности обратной задачи при предложененной регуляризации и критерии адаптации.

2. КРИТЕРИЙ АДАПТАЦИИ

Для адаптации используются экспериментальные и модельные ДЧХ. В качестве критерия адап-

тации ранее применялся критерий минимума среднего модуля невязки экспериментальной и расчетной ДЧХ [Ахмедшин и др., 1991], но этот подход не учитывает ситуации, когда модельная ДЧХ существует в большем или меньшем диапазоне частот из-за отличия модельной ионосферы от истинной. Так как задача решается в отсутствии данных о виде функции потерь и данных об априорных вероятностях того, что ионосфера соответствует модельной с заданными параметрами, то из байесовского критерия вытекает критерий максимального правдоподобия [Левин, 1968], который и предлагается использовать:

$$P(x|\mathbf{A}_{\text{opt}}) \geq P(x|\mathbf{A}) \forall \mathbf{A},$$

где $P(x|\mathbf{A})$ – условная вероятность появления данных отметок x , соответствующих экспериментальной ДЧХ после принятия и обработки сигнала ВНЗ в присутствии помех при том, что истинная ионосфера соответствует модельной по IRI с вектором параметров \mathbf{A} ; \mathbf{A} – вектор параметров модели IRI, подлежащий определению, $\mathbf{A} = \{IG12, RZ12\}$; \mathbf{A}_{opt} – оптимизированный вектор параметров. $P(x|\mathbf{A})$ – называется функцией правдоподобия [Левин, 1968]. При вычислении условной вероятности $P(x|\mathbf{A})$ отличие модельной ДЧХ от экспериментальной обусловлено случайными ошибками измерения сигналов экспериментальной и расчета модельной ДЧХ, тогда разности экспериментальных и модельных минимальных времен задержек рассматриваются как случайные величины с нулевым средним.

$$\begin{aligned} P(x|\mathbf{A}) &= c_1 \prod_{k=1}^{n^1} [p_{c,d(k)} p(\tau_{\text{mod}(\mathbf{A}, k)} - \tau_{\text{exp}(k)}) \times \\ &\quad \times (1 - p_{f,d(k)}) + (1 - p(\tau_{\text{mod}(\mathbf{A}, k)} - \tau_{\text{exp}(k)})) \times \\ &\quad \times (1 - p_{c,d(k)}) p_{f,d(k)}], \\ c_1 &= C_2 \prod_{l=n^1+1}^{N^1} (1 - p_{c,d(l)}) (1 - p_{f,d(l)}) \times \\ &\quad \times \prod_{l=N+1}^{N^2} (1 - p_{f,d(l)}) p_{f,d(l)} \prod_{l=N^2+1}^{N^3} (1 - p_{f,d(l)})^2, \\ C_2 &= \prod_{k=1}^{N^3} (1 - p_{f,d(k)})^2, \end{aligned}$$

где $p_{c,d(k)}$ – условная вероятность правильного обнаружения сигнала в элементе разрешения по дальности; $\tau_{\text{mod}(\mathbf{A}, k)}$ – минимальное время задержки сигнала, рассчитанное по модели IRI с вектором параметров \mathbf{A} ; $\tau_{\text{exp}(k)}$ – экспериментальное минимальное время задержки; $p_{f,d(k)}$ – условная вероятность ложного обнаружения сигнала; k – номер частоты зондирования. На частотах с индексами $k = 1 \dots N$ есть модельное распространение, из них

на частотах с индексами $k = n^1 + 1 \dots N$, не регистрируются сигналы ВНЗ. На частотах с индексами $k = N + 1 \dots N^2$ нет модельного распространения, но фиксируются сигналы ВНЗ, и на частотах с индексами $k = N^2 + 1 \dots N^3$ не регистрируются сигналы ВНЗ и нет модельного распространения. Отметки, соответствующие экспериментальной ДЧХ, получены с дискретом квантования $\Delta\tau$, тогда $p(t)$ – вероятность попадания отклонения модельной от экспериментальной ДЧХ в интервал $\left[t - \frac{\Delta\tau}{2}, t + \frac{\Delta\tau}{2}\right]$, $p(t) = \int_{t - \Delta\tau/2}^{t + \Delta\tau/2} \rho(x) dx$, где $\rho(\tau)$ – плотность распределения вероятности ошибок. Пусть она меняется по закону $\rho(\tau) = C \exp\left(-\frac{\tau^2}{b^2}\right)$ при $|\tau| < (S + 0.5)\Delta\tau$ и $\rho(\tau) = 0$ при $|\tau| \geq (S + 0.5)\Delta\tau$, где b – параметр гауссова распределения; S – параметр, характеризующий допустимое расхождение модельных и экспериментальных данных. Коэффициент C_2 является константой и не зависит от модельной ДЧХ, поэтому при определении максимума $P(x|\mathbf{A})$ им пренебрегаем. Если разница $\tau_{\text{mod}(\mathbf{A}, k)} - \tau_{\text{exp}(k)}$ не укладывается в интервал, определяемый выражением $-(S + 0.5)\Delta\tau \leq \tau_{\text{exp}(k)} < (S + 0.5)\Delta\tau$, то данная экспериментальная отметка не соответствует данной модели, а частота относится к частотам, на которых не зарегистрирован сигнал ВНЗ. Нормировочный коэффициент C получается из соотношения

$$\int_{-(S+0.5)\Delta\tau}^{(S+0.5)\Delta\tau} \rho(x) dx = 1.$$

3. МЕТОД РАСЧЕТА ДЧХ

Расчет модельных ДЧХ проводится в геометрооптическом приближении [Черный, 1972]. По-перечные к направлению распространения волны градиенты показателя преломления и влияние магнитного поля Земли не учитываются. Закон преломления при таких ограничениях запишется в виде [Альперт, 1963]

$$n_2 r_2 \cos \varphi_2 = n_1 r_1 \cos \varphi_1 + \int_{l(r_1)}^{l(r_2)} n_0 dl,$$

где n_1 и n_2 – показатели преломления в точках 1 и 2 на луче соответственно; r_1 и r_2 – радиус-векторы, проведенные из центра Земли в точки 1 и 2 соответственно; φ_1 и φ_2 – углы распространения луча относительно направления, перпендикулярного радиус-векторам, проведенным из центра земли в точки 1 и 2 соответственно; l – координата вдоль луча; θ – геоцентрический угол; n_0 – производная показателя преломления по геоцентри-

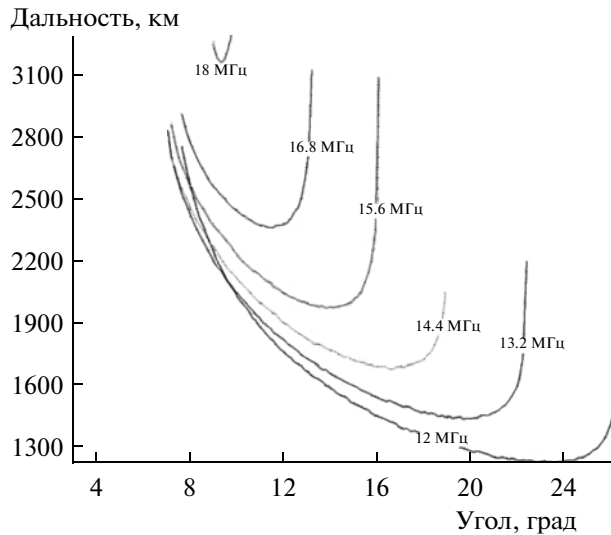


Рис. 1. Зависимость дальности скачка по земле от угла места для ряда частот (7:00 UT).

ческому углу; dl – элемент длины луча. Интеграл берется вдоль луча от точки 1 до точки 2. Заменяя точку с радиус-вектором r_2 на произвольную точку на луче с радиус-вектором r и используя соотношение $\operatorname{tg}\varphi = dr/(rd\theta)$, можно преобразовать это выражение к виду

$$\frac{dr}{d\theta} = \frac{r \sqrt{n(\theta, r)^2 r^2 - \left(n_1 r_1 \cos\varphi_1 + \int_{l(r_1)}^{l(r)} n_\theta(l) dl \right)^2}}{n_1 r_1 \cos\varphi_1 + \int_{l(r_1)}^{l(r)} n_\theta(l) dl}.$$

$$\frac{dr}{d\theta} = \frac{r \sqrt{n(\theta, r)^2 r^2 - (n_1 r_1 \cos\varphi_1 + 0.5(n_\theta(l(r)) + n_\theta(l(n_1))) \sqrt{(r - r_1)^2 + \left(\frac{r + r_1}{2}\right)^2 (\theta - \theta_1)^2})^2}}{n_1 r_1 \cos\varphi_1 + 0.5(n_\theta(l(r)) + n_\theta(l(n_1))) \sqrt{(r - r_1)^2 + \left(\frac{r + r_1}{2}\right)^2 (\theta - \theta_1)^2}}.$$

Решение такого уравнения возможно лишь численными методами. Оно решалось методом Рунге-Кутта 4-го порядка с шагом по геоцентрическому углу $\Delta\theta$. Первоначально под обозначениями с индексом 1 подразумеваются параметры точки входа в ионосферу. Далее делается один шаг, после чего индекс 1 переходит к только что посчитанной точке, $\cos\varphi = 1/\sqrt{1 + (dr/r d\theta)^2}$ и т.д.

Сравнение результатов расчетов по данной методике для параболической модели профиля электронной концентрации в ионосфере с результатами работы [Керблай и Ковалевская, 1971]

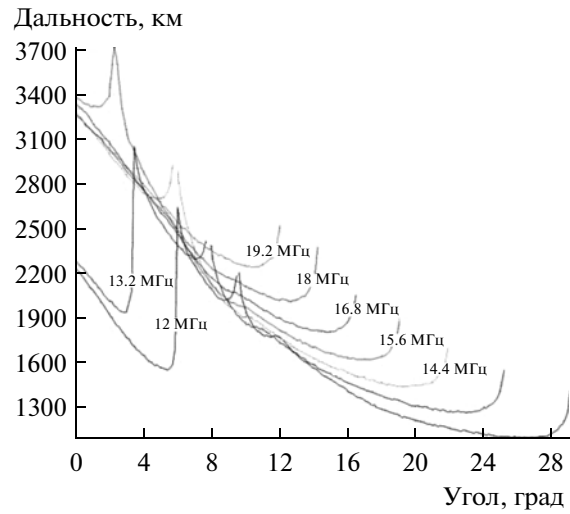


Рис. 2. Зависимость дальности скачка по земле от угла места для ряда частот (11:00 UT).

Точка с радиус-вектором r выбирается так, чтобы

$$\int_{l(r_1)}^{l(r)} n_\theta(l) dl \approx (n_\theta(l(r)) + n_\theta(l(n_1))) \Delta l / 2,$$

где $\Delta l = \sqrt{(r - r_1)^2 + \left(\frac{r + r_1}{2}\right)^2 (\theta - \theta_1)^2}$. Окончательно получаем

$$\frac{dr}{d\theta} = \frac{r \sqrt{n(\theta, r)^2 r^2 - (n_1 r_1 \cos\varphi_1 + 0.5(n_\theta(l(r)) + n_\theta(l(n_1))) \sqrt{(r - r_1)^2 + \left(\frac{r + r_1}{2}\right)^2 (\theta - \theta_1)^2})^2}}{n_1 r_1 \cos\varphi_1 + 0.5(n_\theta(l(r)) + n_\theta(l(n_1))) \sqrt{(r - r_1)^2 + \left(\frac{r + r_1}{2}\right)^2 (\theta - \theta_1)^2}}.$$

показало совпадение в пределах точности приведенных в ней графических зависимостей.

В качестве примера результаты расчетов по профилю IRI приведены на рисунках 1, 2 и 3 для 19.10.2006 г. 7:00 и 11:00 UT. Моделировалась односкачковая трасса ВНЗ, направленная на запад, в качестве точки локализации станции ВНЗ бралась точка с координатами 55° N, 44° E. Рисунки 1 и 2 представляют собой рассчитанные по данной методике зависимости дальности скачка по земле от угла места для набора частот; каждой кривой соответствует своя частота, указанная на рисунке, время – 7:00 и 11:00 UT соответственно.

По вертикали отложена дальность в км, по горизонтали – угол места в градусах. Рисунок 3 показывает модельные ДЧХ. По вертикали отложена задержка сигналов ВНЗ в мс, по горизонтали – частота в МГц.

4. РЕЗУЛЬТАТЫ МОДЕЛИРОВАНИЯ

Корректность предложенного подхода проверялась путем моделирования. Для начала рассмотрен случай, когда отсутствуют случайные ошибки измерения экспериментальных ДЧХ, и истинная ионосфера соответствует модельной при определенном векторе параметров \mathbf{A} . В качестве экспериментальных данных принималось модельное решение (модельная ДЧХ) при векторе параметров $\mathbf{A}_0 = \{IG12_0, RZ12_0\}$, взятом из прогноза. Пределы изменения параметров модели $IG12$ и $RZ12$ брались с учетом их вариаций за 1958–2009 гг. и составляли [–14, 173] по $IG12$ и [–15, 270] по $RZ12$, что перекрывает диапазон их изменения за указанные годы. Для каждого значения из этих интервалов с шагом 0.2 по $IG12$ и 7.5 по $RZ12$ рассчитывались модельная ДЧХ и функция правдоподобия $P(x|\mathbf{A})$. Моделирование проводилось в условиях высокой ($RZ12 \approx 150$), средней (≈ 70) и низкой (≈ 7) солнечной активности, для середины лета, зимы, весны и осени, для 8:00, 14:00, 20:00 и 24:00 по местному времени. В качестве примера типичный результат представлен на рисунках 4 и 5. На них изображены зависимости функции правдоподобия от вектора параметров модели. Истинное состояние ионосферы соответствует модельной на 19.10.2006 г., 14:00 по местному времени с $\mathbf{A}_0 = \{20.99, 7.15\}$, взятым из прогноза. По оси абсцисс – глобальный ионосферный индекс, разные кривые соответствуют числам солнечных пятен, указанным на рисунке. По оси ординат – значение функции правдоподобия $P(x|\mathbf{A})$.

На рисунке показаны кривые с параметрами модели $RZ12$, кратными 15. Вид кривых при $79.6 \leq IG12 \leq 173$ не показан, так как в этой области они монотонно убывают. На рисунке 5 показан более детальный результат в области максимума $P(x|\mathbf{A})$ с шагом по $RZ12$, равным 7.5.

Видно существование единственного максимума $P(x|\mathbf{A})$, хотя и не ярко выраженного. Полученные в результате адаптации оптимизированные параметры модели $IG12_{\text{opt}}$ и $RZ12_{\text{opt}}$ равны 21 и 7.5 соответственно. Ошибка по всем реализациям по $IG12$ составляет не более 1.5%, а по $RZ12$ – не более 6%. Анализ результатов моделирования показал, что обратная задача при предложенной регуляризации и сделанных ограничениях имеет единственное решение в смысле выбранного критерия адаптации. Для моделирования случая с ошибками измерения экспериментальной ДЧХ и

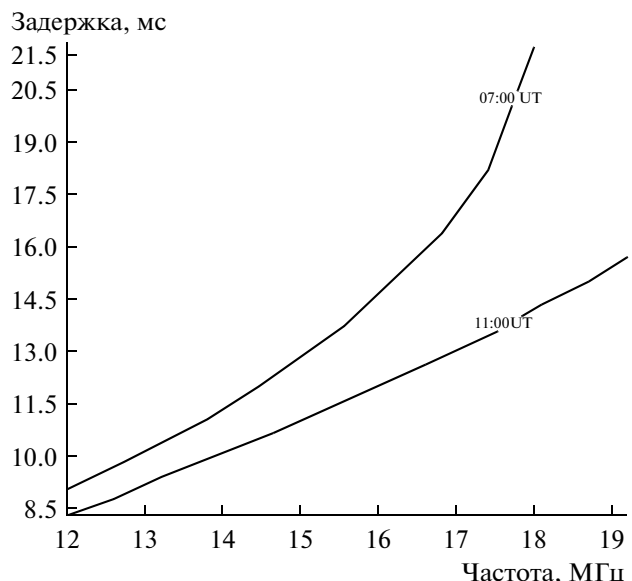


Рис. 3. Модельные дистанционно-частотные характеристики (7:00 и 11:00UT).

флуктуациями ионосферы в процессе снятия ионограммы ВИЗ, берется модельная ДЧХ с вектором параметров \mathbf{A}_0 , взятым из прогноза, с добавлением случайного отклонения к задержке на каждой частоте. Поскольку программа пишется на C++, то используется генератор случайных чисел *RandG* с нулевым средним значением и среднеквадратичным отклонением, равным 0.45 мс. На рисунке 6 показан результат.

Видно, что задача имеет единственный максимум $P(x|\mathbf{A})$, который, в отличие от предыдущего случая, выражен достаточно отчетливо. Добавление ошибки сказалось и на точности коррекции модели: $IG12_{\text{opt}} = 21.8$, $RZ12_{\text{opt}} = 30$. Глобальный ионосферный индекс определился достаточно точно, а число солнечных пятен – нет. Ошибки по отношению к интервалам изменения за указанные годы по $IG12$ составляет $\approx 0.5\%$, а по $RZ12 \approx 11\%$. Далее рассмотрен случай со средней солнечной активностью. Ионосфера взята на 19.01.1993 г., 14:00 по местному времени с $\mathbf{A}_0 = \{94.69, 71.12\}$ (рис. 7).

Задача и в этом случае имеет единственный максимум, $IG12_{\text{opt}} = 91.5$, $RZ12_{\text{opt}} = 67.5$. Ошибки по отношению к интервалам изменения за указанные годы по $IG12$ составляет $\approx 2\%$, а по $RZ12 \approx 1.7\%$.

5. ОБСУЖДЕНИЕ РЕЗУЛЬТАТОВ

В действительности кривые ДЧХ будут определяться необыкновенной компонентой сигнала. Связь между частотой f в отсутствии магнитного поля и частотой f_x для необыкновенной компоненты,

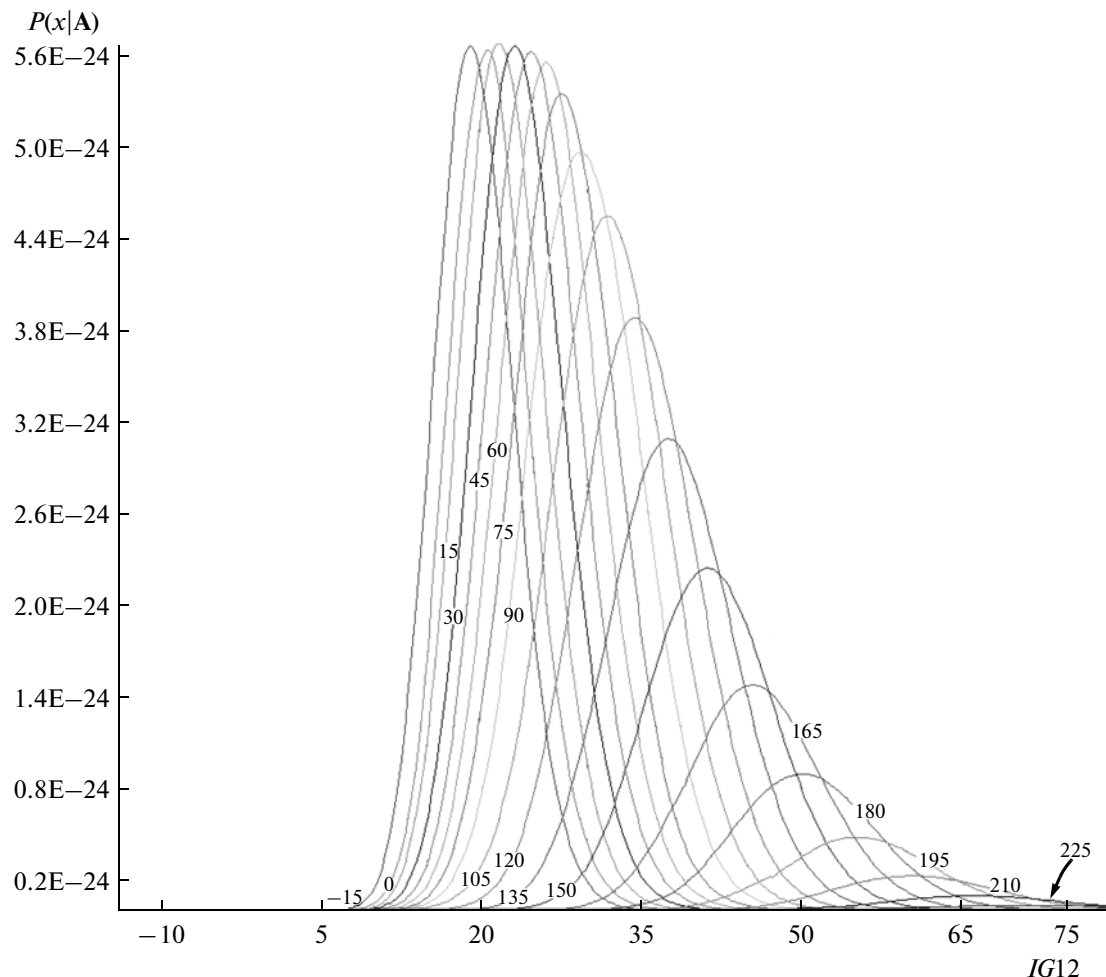


Рис. 4. Зависимость функции правдоподобия от $IG12$ и $RZ12$. Индекс $IG12$ изменялся в интервале $[-14, 79.4]$.

при которых достигается равенство групповых путей вычислена в работе [Крашенинников и др., 1983] и имеет вид $f^2 \approx f_x^2 - f_T^2/2 - \sqrt{f_x^4/4 + f_x^2 f_L^2}$, где $f_T = \frac{e}{2\pi mc} \sqrt{H_r^2 + (H_\theta \sin(\gamma) - H_\phi \cos(\gamma))^2}$; $f_L = \frac{e}{2\pi mc} \times [H_\theta \cos(\gamma) - H_\phi \sin(\gamma)]$; H_r , H_ϕ и H_θ — проекции геомагнитного поля в сферической системе координат на удалении, в равном половине группового пути от точки локализации станции ВНЗ; γ — азимутальный угол; e и m — заряд и масса электрона; c — скорость света. Частоты экспериментальной ДЧХ должны быть пересчитаны в соответствии с этой формулой, после чего ДЧХ можно использовать в алгоритме адаптации.

Поскольку плотность вероятности $p(t)$ имеет в нуле производную, равную нулю, то существует окрестность точки $t = 0$, где $p(t)$ меняется очень незначительно, а вместе с ней и $p(t)$. Если экспериментальная ДЧХ в точности соответствует модельной с вектором параметров A_0 , то при значе-

ниях A , лежащих в некоторой окрестности A_0 , в которой достигается максимум $P(x|A)$, отклонения $\tau_{mod(A, k)}$ от $\tau_{exp(k)}$ для каждого k будут лежать в окрестности нуля, и вероятности $p\{\tau_{mod(A, k)} - \tau_{exp(k)}$ будут меняться слабо, а вместе с ними и $P(x|A)$, что видно на рисунках 4 и 5. При добавлении случайных отклонений такого эффекта не будет, и максимум будет достаточно ярко выраженным, как на рисунках 6 и 7.

6. ВЫВОДЫ

- Предложен критерий адаптации вектора параметров модели ионосферы IRI ($IG12$ и $RZ12$) к реальным измерениям ДЧХ ВНЗ ионосферы, учитывающий не только отклонения модельной ДЧХ от экспериментальной, но и частотный интервал существования ДЧХ, что позволяет сравнивать ДЧХ разной длины при сильном отличии модельной ионосферы от экспериментальной.

- На основе моделирования показана корректность (единственность решения) обратной

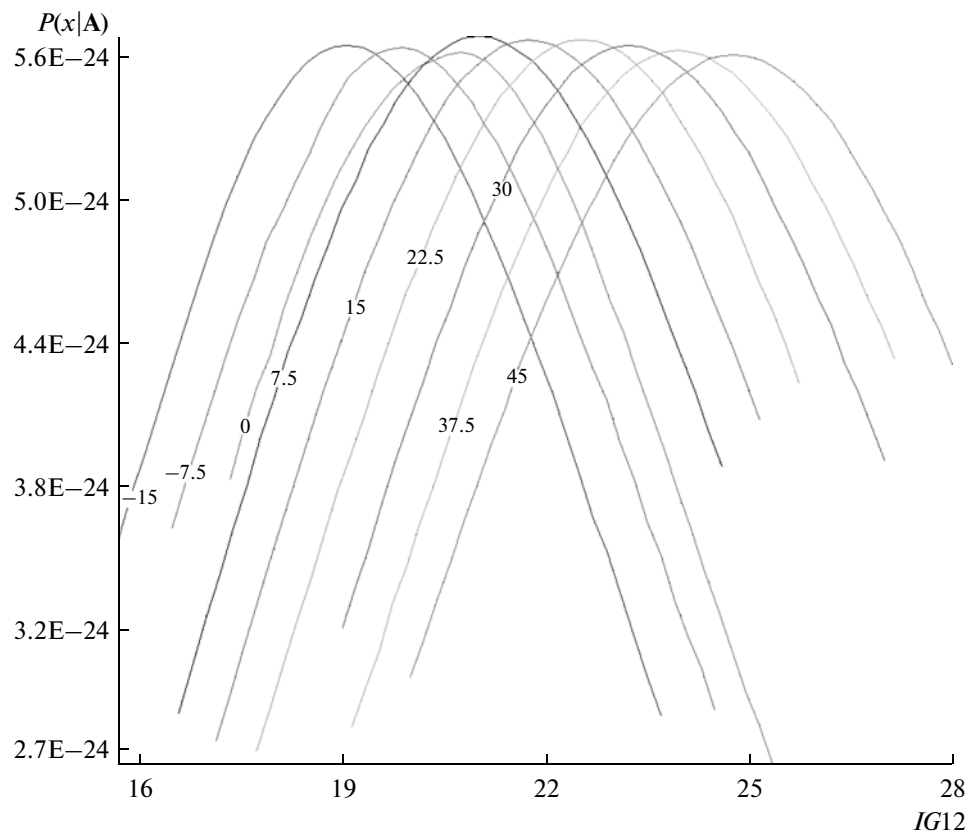


Рис. 5. Зависимость функции правдоподобия от $IG12$ и $RZ12$ в области ее максимума.

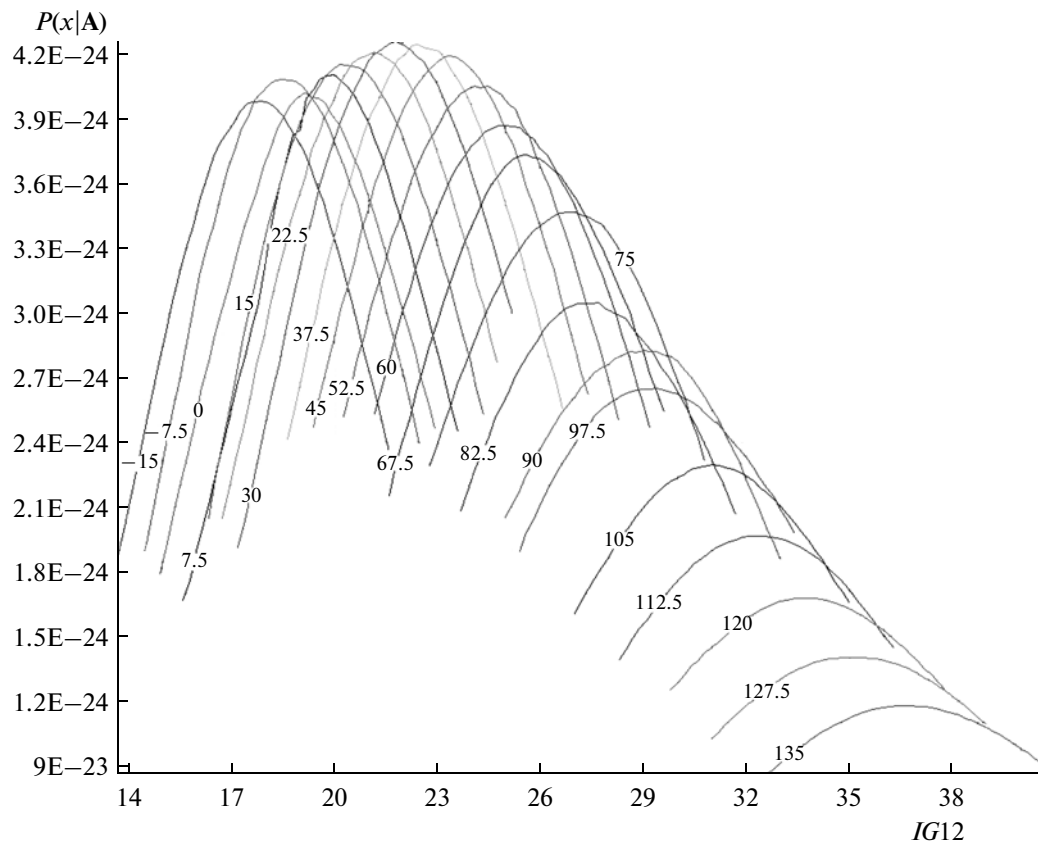


Рис. 6. Зависимость функции правдоподобия от $IG12$ и $RZ12$ при низкой солнечной активности с учетом ошибок измерения.

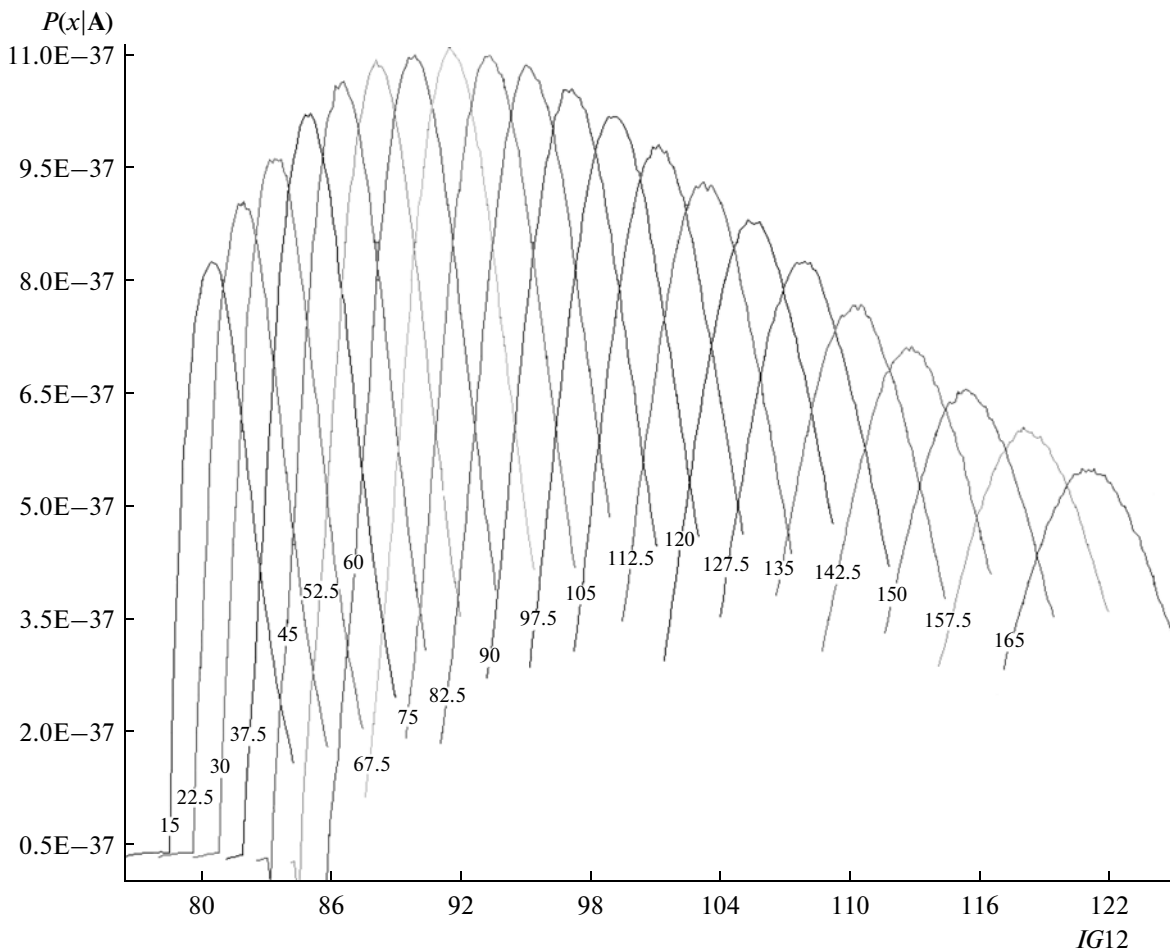


Рис. 7. Зависимость функции правдоподобия от $IG12$ и $RZ12$ при средней солнечной активности с учетом ошибок измерения.

задачи ВНЗ при предложенных регуляризации и критерии адаптации и сделанных ограничениях.

СПИСОК ЛИТЕРАТУРЫ

- Альперт Я.Л. О рефракции и допплеровском смещении частоты радиоволн, излучаемых ИСЗ, в трехмерно неоднородной ионосфере // Геомагнетизм и аэрономия. Т. 3. № 4. С. 626–634. 1963.
- Ахмедшин Р.Л., Калинин Ю.К., Платонов Т.Д., Рождественская Л.Л. Обратная задача возвратно-наклонного зондирования для трехслойной ионосферы // Геомагнетизм и аэрономия. Т. 31. № 6. С. 1021–1026. 1991.
- Керблай Т.С., Ковалевская Е.М. Расчет скачка, максимальной применимой частоты, углов прихода радиоволн с учетом горизонтальной неоднородности ионосферы. М.: Наука, 116 с. 1971.
- Крашенинников И.В., Егоров И.Б., Павлова Н.М. Эффективность прогнозирования прохождения радиоволн в ионосфере на основе ионосферной модели IRI-2001 // Геомагнетизм и аэрономия. Т. 48. № 4. С. 526–533. 2008.
- Крашенинников И.В., Лобачевский Л.А., Лянной Б.Е., Снеговой А.А. Оценка высотного распределения электронной концентрации по ионограмме наклонного зондирования ионосферы // Геомагнетизм и аэрономия. Т. 23. № 5. С. 727–732. 1983.
- Левин Б.Р. Теоретические основы статистической радиотехники. Кн. 2. М.: Сов. радио, 504 с. 1968.
- Михеев С.М., Тинин М.В., Фридман О.В. О структуре радиосигнала при возвратно-наклонном зондировании ионосферы // Изв. вузов. Радиофизика. Т. 31. № 9. С. 1027–1035. 1988.
- Чернов Ю.А. Возвратно-наклонное зондирование ионосферы. М.: СВЯЗЬ, 204 с. 1971.
- Черный Ф.Б. Распространение радиоволн. М.: Сов. радио, 464 с. 1972.
- Bilitza D., Reinisch B.W. International Reference Ionosphere 2007: Improvements and new parameters // Adv. Space Res. V. 42. I. 4. P. 599–609. 2008.